

بررسی اثر فرآیند فعالسازی مکانیکی بر استحالت ساختاری

در زیرکونیا

محسن گلزار شهریⁱ; علی سعیدیⁱⁱ; علی شفیعیⁱⁱⁱ

چکیده

در این تحقیق، اثر فرآیند فعالسازی مکانیکی بر استحالت ساختاری در زیرکونیای مونوکلینیک بررسی شد. آزمایش‌ها نشان داد که استحالت ساختاری مونوکلینیک به تراکوئنال در زیرکونیا بسیار کند صورت می‌گیرد، به طوری که پس از ۸ ساعت حرارت دادن در دمای 1250°C هیچگونه تغییر ساختاری در زیرکونیا مشاهده نشد. آزمایش‌های فعالسازی مکانیکی نشان داد که در پودر زیرکونیای خالص با ساختار مونوکلینیک فقط پس از ۴ ساعت آسیاکاری، پیک‌های شاخص ساختار تراکوئنال در الگوی پراش اشعه ایکس به وضوح حاصل و پس از ۴۸ ساعت آسیاکاردن، ساختار اولیه پودر (مونوکلینیک) بطور کامل حذف شد. درصد استحالت ساختاری انجام گرفته در هر نمونه و سرعت انجام این استحالت نیز بررسی شد. همچنین حضور ساختار کوبیک در زیرکونیای خالص پس از ۱۵۰ ساعت آسیاکاردن اثبات شد. برای تشخیص ساختار کوبیک از تراکوئنال در زیرکونیا از نظر کیفی، پیک‌های زوایای بالای 60° مد نظر قرار گرفت؛ ولی از نظر کمی با استفاده از روش مورد استفاده در این تحقیق به هیچ عنوان نمی‌توان درصد هر فاز را بدست آورد. با توجه به مکانیزم عمل آسیاکاری گلوله‌ای می‌توان دلیل انجام این استحالت‌ها را افزایش فشار و دمای موضعی در پودر به واسطه برخوردهای پر انرژی بین گلوله‌ها و پودر دانست.

کلمات کلیدی

زیرکونیا، مونوکلینیک، تراکوئنال، کوبیک، آسیاکاری.

The Effect of Mechanical Activation on Phase Transformation of Zirconia

M. Golzar-Shahri, A. Saidi and A. Shafyei

ABSTRACT

In this research, the effect of mechanical activation on phase transformation of monoclinic zirconia was investigated. It was revealed that the transformation of monoclinic to tetragonal at a temperature as high as 1250°C is very slow. Milling of pure zirconia with monoclinic structure facilitates this phase transformation. The XRD patterns of the milled samples show that after 4 hrs tetragonal peaks are appeared and after 48 hrs phase transformation is completed. The kinetics of this transformation was also studied and the corresponding correlation was proposed. Cubic structure could also been obtained after 150 hrs milling. The sharp increase of the pressure and temperature at the collision points of the balls are the main reasons for this phase transformation at the ambient overall temperature.

KEYWORDS

Zirconia, Monoclinic, Tetragonal, Cubic, Milling.

ⁱ دانشجوی کارشناسی ارشد؛ دانشکده مهندسی مواد؛ دانشگاه صنعتی اصفهان؛ mgshahri@yahoo.com

ⁱⁱ استاد؛ دانشکده مهندسی مواد؛ دانشگاه صنعتی اصفهان؛ a.saidi@cc.iut.ac.ir

ⁱⁱⁱ استادیار؛ دانشکده مهندسی مواد؛ دانشگاه صنعتی اصفهان؛ shafyei@cc.iut.ac.ir

۲- مواد اولیه و تجهیزات

پودر زیرکونیا با خلوص ۹۹٪ به عنوان ماده اولیه استفاده شد. برای بررسی‌های تفرق اشعه X از دستگاه XRD مدل فیلیپس با تیوب Cu-K α استفاده شد. آنالیز XRD پودر اولیه، حضور فاز مونوکلینیک را نشان داد. به وسیله دستگاه SEM مدل فیلیپس XL30 ۱۹۹۳، نیز اندازه ذرات آن حدود امیکرون تخمین زده شد.

آزمایش‌های فعال‌سازی مکانیکی در یک آسیای گلوله‌ای سیارهای ساخت شرکت فراپژوهش زاینده رود اصفهان مدل FP2 صورت گرفت. محفظه آسیا از جنس فولاد ابزار X210CrW12 و گلوله‌ها از جنس فولاد بلبرینگ (سختی ۵۵HRC) بود. در این آزمایش‌ها از ۴ گلوله با قطر ۲۰ میلی‌متر استفاده شد و نسبت وزنی گلوله به پودر ۴۰ به ۱ و ۶۰ به ۱ در نظر گرفته شد. سرعت چرخش محفظه آسیا برای تمامی آزمایش‌ها ۶۰ دور در دقیقه بود. برای بررسی اثر دما بر استحالة ساختاری در زیرکونیا نیز از یک کوره لوله‌ای استفاده شد. حداقل دمای کاری این کوره برای زمان‌های طولانی ۱۲۰۰°C بود.

۳- روش انجام آزمایش‌ها

در این تحقیق استحالة ساختاری زیرکونیای α با ساختار مونوکلینیک به زیرکونیای β با ساختار تراگونال و زیرکونیای γ با ساختار کوبیک بررسی شد. قدم اول، آنالیز نمونه خام بود، که نتایج آنالیز XRD حضور ساختار مونوکلینیک را به تطور کامل در نمونه تائید کرد. برای بررسی استحالة در زیرکونیای مونوکلینیک، طی دو مرحله واکنش‌ها انجام گرفت:

مرحله اول: بررسی استحالة ساختاری $\beta \rightarrow \alpha$ در زیرکونیا در این مرحله، ابتدا اثر درجه حرارت بر استحالة $\alpha \rightarrow \beta$ مورد تحقیق و بررسی شد. با توجه به این‌که در مراجع، حداقل دمای تعادلی برای استحالة $\beta \rightarrow \alpha$ در زیرکونیا ۱۲۰۰°C ذکر شده است^[۵]، نمونه پودری در دماهای ۱۲۰۰°C و ۱۲۵۰°C به مدت زمان ۴ و ۸ ساعت حرارت داده شد. این آزمایش‌ها در کوره استوانه‌ای انجام گرفت و تمامی نمونه‌ها پس از گذراندن زمان مورد نظر در دماهای یاد شده سریعاً سرد شدند. پس از انجام این آزمایش‌ها نمونه‌ها با آنالیز XRD فازیابی شدند.

برای تعیین اثر فرایند فعال‌سازی مکانیکی بر استحالة ساختاری $\beta \rightarrow \alpha$ تعداد ۶ نمونه در زمان‌های ۲، ۸، ۱۶، ۲۴، ۴۸ ساعت آسیاکاری شد. آزمایش‌های فعال‌سازی مکانیکی در آسیای سیارهای انجام گرفت. نسبت وزنی گلوله به پودر ۴۰ به ۱ بود و تعداد گلوله‌ها در تمامی آزمایش‌ها ۴ عدد ثابت در نظر

آلیاژسازی مکانیکی فرآیندی است که در آن مخلوط پودری در یک آسیا درمعرض برخوردهای پرانرژی گلوله‌ها قرار می‌گیرد. این فرآیند اغلب در محیط اتمسفر خنثی انجام می‌شود. در حین آلیاژسازی مکانیکی دو رخداد مهم جوش خوردن و شکستن مکرر ذرات پودر اتفاق می‌افتد. اگر سرعت جوش خوردن ذرات با سرعت شکستن برابر باشد و اندازه متوسط آنها ثابت بماند، فرآیند فعال‌سازی رخ می‌دهد^{[۲] و [۱]}.

فعال کردن مکانیکی مواد جامد یکی از شاخه‌های علم مکانوشیمی است. مکانو شیمی شاخه‌ای از علم است که در مورد تحولات شیمیایی و فیزیکو-شیمیایی مواد در اثر انرژی مکانیکی بحث می‌کند. در این روش به همکار مکانیکی، مواد جامد را فعال می‌سازند. به عبارت دیگر، براساس تعاریف پذیرفته شده، که به وسیله‌ی هینیک (Heinicke) و برباگین (Buryagin) ارائه شده است^[۳]، مکانوشیمی علم شروع و تسریع واکنش‌ها و تحولات شیمیایی در حالت گاز، مایع و جامد با استفاده از انرژی مکانیکی است.

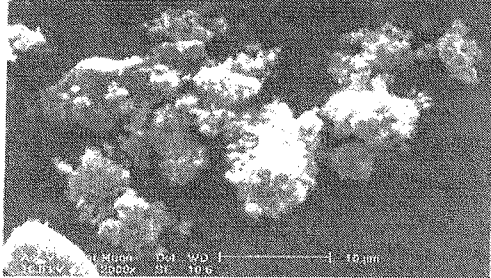
امروزه فرآیند فعال‌سازی مکانیکی (MA) به عنوان یک فرآیند دمای پایین، کاربرد وسیعی در صنعت پیدا کرده است. یکی از مهم‌ترین زمینه‌های کاربردی فعال‌سازی مکانیکی صنایع هیدرومکتالورژی و معدنی است. تحقیقات زیادی در این زمینه صورت گرفته است و مکانیزم‌های متعددی برای تشریح تاثیر فعال‌سازی مکانیکی بر سرعت فرآیندهای هیدرومکتالورژیکی پیشنهاد شده است^[۴].

با توجه به استفاده روزافزون زیرکونیم در صنایع هسته‌ای، این فلز از اهمیت بسیار بالایی برخوردار شده است و به زیرکونیا به عنوان ماده اولیه تولید زیرکونیم توجه شده است. زیرکونیا سه پلی‌مورف متقاوت با ساختارهای مونوکلینیک، تراگونال و کوبیک از خود نشان می‌دهد. همچنین ثابت شده است که یک حالت اورتوروموبیک فشار بالا نیز دارد. ساختار مونوکلینیک تا دمای حدود ۱۲۰۵°C (۱۳۷۸K) پایدار است که در این دما به ساختار تراگونال تبدیل می‌شود. ساختار تراگونال تا دمای ۲۱۷۳K (۱۹۰۰°C) پایدار بوده و از آن پس فاز کوبیک تا نقطه ذوب آن؛ یعنی ۲۶۷۷°C (۲۹۵K) پایدار است^[۵].

در این تحقیق، اثر آسیاکاری بر استحالة ساختاری مونوکلینیک به کوبیک ($\gamma \rightarrow \alpha$) در زیرکونیا بررسی و سرعت انجام استحالة $\beta \rightarrow \alpha$ نیز مود مطالعه قرار شده است.

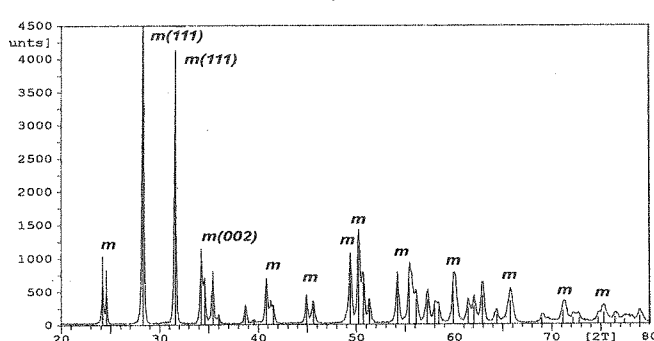
ساختار مونوکلینیک می‌توان به خوبی حضور ساختار مونوکلینیک را در نمونه اولیه اثبات کرد.

شکل (۲) نیز تصویر SEM پودر زیرکونیای اولیه را نشان می‌دهد:



شکل (۲) تصویر SEM پودر اولیه

شکل (۳) الگوی پراش اشعه X را برای نمونه‌ای که ۸ ساعت در دمای 125°C قرار داشته است، نشان می‌دهد. با توجه به این الگو و مراجعه به کارت‌های ICDD با اطمینان می‌توان حضور ساختار مونوکلینیک را تایید کرد. دلیل این موضوع را می‌توان به انژری اکتیواسیون بالای استحاله $\beta \rightarrow \alpha$ نسبت داد و یا احتمال دیگر سرعت بسیار پایین استحاله فازی در دمای مورد نظر است. این سرعت پایین استحاله در مورد استحاله روتیل به آناتاز در دمای تعادلی تجربه شده و حدائق زمان لازم برای استحاله ۴۸ ساعت ذکر شده است [۸].



شکل (۳): الکوئی پرائی اشعه X برای نمونه‌ای که ۸ ساعت در دمای ۱۲۵°C قرار داشته است

از آزمایش‌های گرم کاری می‌توان نتیجه گرفت که در دمای ۰°C بالای دمای تعادلی استحاله و تا زمان ۸ ساعت، استحاله ساختاری در زیرکربنیای مونوکلینیک انجام پذیر نیست و به احتمال فراوان به دماهای بالاتر و زمان‌های طولانی‌تر نیاز دارد که بیانگ بالا بودن اندیشه، اکته اسیمه، این و اکنش، است.

شکل (۴) الگوی پراش اشعه X را برای نمونه‌ای که ۲ ساعت از دامان محیط آسیا شده است، نشان می‌دهد.

با دقت در این شکل می‌توان تغییراتی را در شدت پیکهای مونوکلینیک مشاهده کرد. همچنین می‌توان به وجود آمدن

گرفته شد. سرعت چرخش آسیا نیز ثابت و برابر با ۶۰۰ دور در دقیقه انتخاب شد.

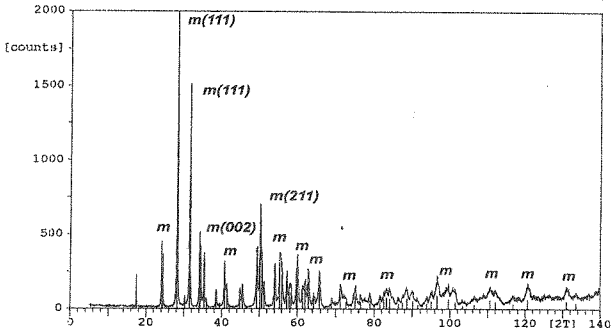
برای بررسی سرعت استحاله $\beta \rightarrow \alpha$ با فرآیند فعال‌سازی مکانیکی نیز از فرمول (۱) استفاده شد^[۶] و در صد فازهای α و β در هر نمونه محاسبه شد. در این رابطه I نشان‌دهنده شدت پیکه‌های صفحاتی است که به صورت اندیس آورده شده است. تیانگر فاز تتراگونال و M بیانگر فاز مونوکلینیک می‌باشد. با توجه به مقادیر بدست آمده برای هر نمونه سرعت استحاله بررسی شد. قابل ذکر است که فرمول مذکور تنها برای مخلوط فازهای مونوکلینیک و تتراگونال صادق است.

$$\% \alpha = \frac{I_{(\bar{1}11)_M} + I_{(111)_M}}{I_{(\bar{1}11)_M} + I_{(111)_M} + I_{(111)_T}} \quad (1)$$

مرحله دوم: بررسی استحالة ساختاری $\gamma \rightarrow \alpha$ در زیرکوئنیای خالص در این مرحله برای بررسی اثر نسبت وزنی گلوله به پودر و زمان آسیاکاری بر استحالة $\gamma \rightarrow \alpha$ سه نمونه آسیا شد. نمونه اول با نسبت وزنی گلوله به پودر ۴۰ به ۱ و دو نمونه بعدی با نسبت وزنی گلوله به پودر ۶۰ به ۱ و سرعت چرخش آسیا برابر ۶۰۰ RPM آسیاکاری شد. نمونه اول ۱۰۰ ساعت و دو نمونه بعدی به مدت ۱۰۰ و ۱۵۰ ساعت آسیا شد. پس از انجام آزمایش‌های فعال‌سازی مکانیکی، نمونه‌ها تحت آنالیز XRD قرار گرفتند.

۴- یافته‌ها و بحث

شکل (۱) آنالیز XRD را برای پودر زیرکونیای اولیه نشان دهد:



شكل (١): الگوی پراش اشعه X پودر اولیه

با توجه به استانداردها، پیکهای اصلی ساختار زیرکوئیتی مونوکلینیک در زوایای $\theta_1 = 28/223$ ، $\theta_2 = 21/513$ ، $\theta_3 = 34/212$ ظاهر می‌شود که به ترتیب به صفحات کریستالی (۱۱۱)، (۰۰۲) و (۰۰۱) مریبوط است [۷].

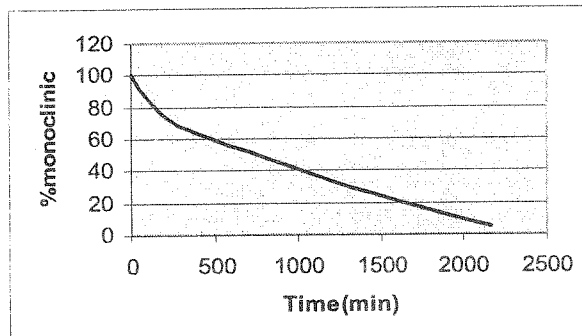
با دقت دراین شکل و مراجعه به کارت‌های ICDD (International Center of Diffraction Data) مربوط به

نمونه به دست آورد. جدول (۱) اطلاعات به دست آمده از الگوهای پراش و با استفاده از فرمول (۱) را لیست می کند.

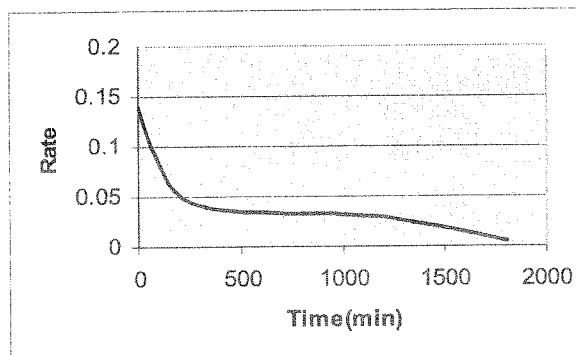
جدول (۱): درصد فاز α به دست آمده در هر نمونه با استفاده از فرمول (۱)

زمان	نمونه	نمونه	۲۶	۲۴	۱۶	۸	۲	۰	ساعت	ساعت	ساعت	ساعت	ساعت	ساعت
آسیاکردن									خام	ساعت	ساعت	ساعت	ساعت	ساعت
دربند														
مونوکلینیک	۱۰۰	۸۲	۷۰	۶۰	۴۲	۲۸	۱۰۰	ناظیر						

اگر نمودار درصد α بر حسب زمان آسیاکردن رسم شود، نمودار شکل (۶) به دست می آید. شکل (۷) نیز معادله سرعت تولید فاز β ، $\frac{-d\alpha}{dT}$ را بر حسب زمان آسیاکاری نشان می دهد.



شکل (۶): درصد فاز α بر حسب زمان آسیاکاری



شکل (۷): نمودار $\frac{-d\alpha}{dT}$ (سرعت انجام استحاله) بر حسب زمان آسیاکاری

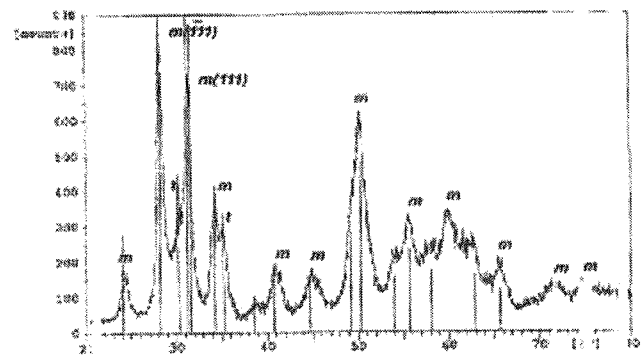
معادله سرعت واکنشها بطور کلی بصورت زیر نوشته می شود [۱۰]:

$$Rate = k[\alpha]^n \quad (2)$$

n درجه واکنش یا نحوه تغییرات سرعت با غلظت ماده اولیه K ثابت سرعت

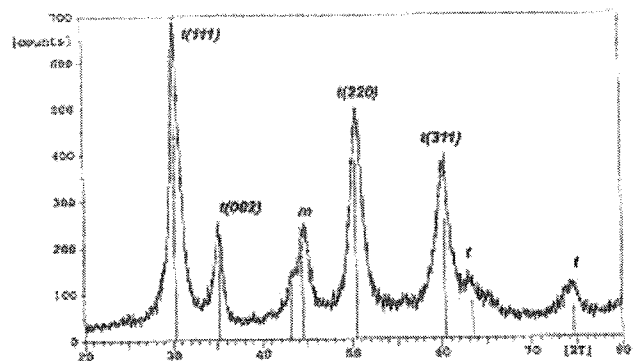
برای به دست آوردن درجه واکنش و ثابت سرعت واکنش می توان معادله $Ln(Rate)$ را بر حسب $Ln[\alpha]$ رسم کرد. در این صورت n ضریب زاویه (شیب خط یا منحنی) و k عرض

پیکهای با شدت خیلی کم را نیز مشاهده کرد. پیکهای اصلی ساختار تتراتوکوتال تحت زوایای $\theta_1=30^\circ/20^\circ$ ، $\theta_2=50^\circ/59^\circ$ ، $\theta_3=60^\circ/29^\circ$ شکل می گیرد که به ترتیب به صفحات (۱۱۱)، (۲۲۰) و (۳۱۱) مربوط است [۸]. توجه به شکل (۴) نشان می دهد که پیکهای اصلی مونوکلینیک پهن تر شده اند و روی هر پیک پیکهای کوچکی شکل گرفته است که همان پیکهای ساختار تتراتوکوتال است و این می تواند دلیلی بر شروع پیدایش ساختار تتراتوکوتال باشد. همچنین پهن تر شدن پیکها دلیل مناسبی برای ریز شدن اندازه ذرات در پودر زیرکونیاست [۹].



شکل (۴): الگوی پراش اشعه X برای نمونه ای که ۲ ساعت آسیا شده است

شکل (۵) الگوی پراش اشعه X را برای نمونه ای که ۴۸ ساعت آسیا شده است، نشان می دهد. با توجه به این تصویر می توان به خوبی پایان استحاله فازی $\beta \rightarrow \alpha$ را نشان داد. همان گونه که در تصویر مشخص است پیکهای اصلی ساختار تتراتوکوتال واضح کامل یافته اند و پیکهای اصلی ساختار مونوکلینیک محو شده اند. با مقایسه شکل (۵) و شکل (۱) انجام شگفت انگیز استحاله ساختاری مونوکلینیک به تتراتوکوتال پس از ۴۸ ساعت آسیاکاری به خوبی قابل اثبات است.



شکل (۵): الگوی پراش اشعه X برای نمونه ای که ۴۸ ساعت آسیا شده است

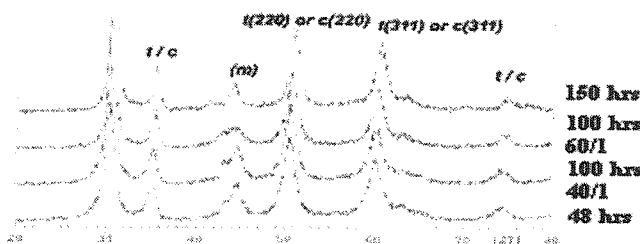
با استفاده از فرمول (۱) می توان درصد هر فاز را در هر

می‌گیرند و به ترتیب به صفحات (۱۱۱)، (۲۲۰) و (۳۱۱) مربوط

هستند [۱۱].

اگر به شکل (۹) و پیکهای اصلی این شکل توجه شود، مشاهده می‌شود که حتی مطابقت مقادیر θ مربوط به هر زاویه ICDD نیز نمی‌تواند حضور ساختار کوبیک را اثبات کند؛ ولی نزدیکتر بودن آن متناظر هر پیک به الگوی پراش اشعه X زیرکونیای کوبیک استاندارد، احتمال انجام استحاله β به γ را رد نمی‌کند.

(۱۱۱) و (۲۲۰)



شکل (۹): الگوی پراش اشعه X نمونه‌های ۴۸ و ۱۰۰ و ۱۵۰ ساعت آسیا شده

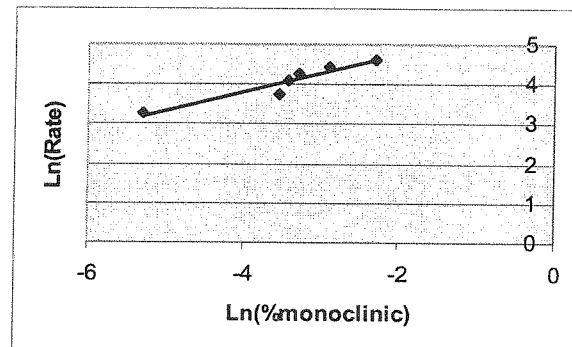
با توجه و دقت بر کارت‌های ICDD این دو ساختار می‌توان دریافت که بیشترین تفاوت در پیکهای این دو ساختار در زوایای بالاتر از $2\theta = 60^\circ$ پدیدار می‌شود [۱۲]. این تفاوت به حضور پیکهای کوچک در زوایای بالاتر از $2\theta = 60^\circ$ در ساختار کوبیک بر می‌گردد که ساختار تتراترونال این پیکها را نمی‌دهد. به عنوان مثال می‌توان به پیکهای $2\theta = 63^\circ$ ، $2\theta = 85^\circ$ ، $2\theta = 117^\circ$ اشاره کرد که در ساختار کوبیک با آن رو برو می‌شویم در حالی که ساختار تتراترونال این پیکها را نمی‌دهد. با توجه به مطالب گفته شده برای این‌که تفاوت‌ها کاملاً محسوس باشد نمونه‌ای که تقریباً بطور کامل دارای ساختار تتراترونال بود، با نمونه‌ای که بیشترین نسبت گلوله به پودر $60:1$ داشت، (۱۵۰ ساعت) را با بیشترین نسبت گلوله به پودر $60:1$ (بین ۶۰ و ۱۲۰) مورد برای بار دوم تحت زوایای بالاتر از 60° (بین ۶۰ و ۱۲۰) مورد آنالیز XRD قرار گرفتند. شکل‌های (۱۰) و (۱۱) الگوی پراش اشعه X را برای این دو نمونه تحت زوایای بالاتر از 60° نشان می‌دهند. با مقایسه شکل‌های (۱۰) و (۱۱) می‌توان به خوبی مشاهده کرد که در زوایای $2\theta = 63^\circ$ ، $2\theta = 85^\circ$ و $2\theta = 117^\circ$ مشاهده ای که در نمونه‌ای آسیا شده است، پیکهای مشخصی داده است در حالی که در نمونه‌ای که 48 ساعت آسیا شده است هیچکدام از این پیکها واضح نیستند.

از مبدأ منحنی است.

$$Rate = k[\alpha]^n \Rightarrow \ln(Rate) = Lnk + n\ln[\alpha]$$

اگر معادله $\ln(Rate)$ بر حسب $\ln[\alpha]$ را رسم کنیم نموداری مطابق نمودار شکل (۸) به دست می‌آید. ملاحظه می‌شود که منحنی $\ln(Rate)$ بر حسب $\ln[\alpha]$ را می‌توان با تقریب بسیار خوبی خطی در نظر گرفت که معادله خط به صورت زیر خواهد بود:

$$\ln(Rate) = -0.47(\ln[\alpha]) + 5.68 \quad (۳)$$



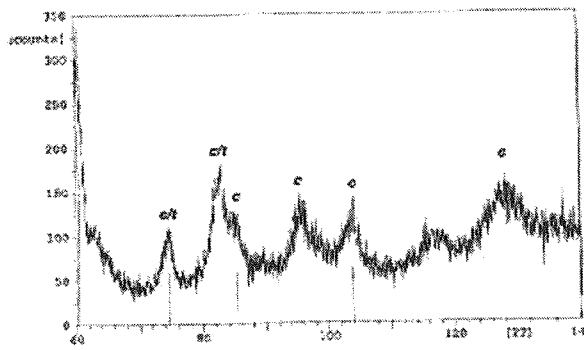
شکل (۸): معادله $\ln(Rate)$ بر حسب $\ln[\alpha]$

پس این واکنش از درجه 40° بوده و ثابت سرعت آن از معادله $Lnk = 5.68$ به دست می‌آید. بدین ترتیب می‌توان معادله سرعت واکنش استحاله مونوکلینیک به تتراترونال در زیرکونیا را بصورت زیر نوشت:

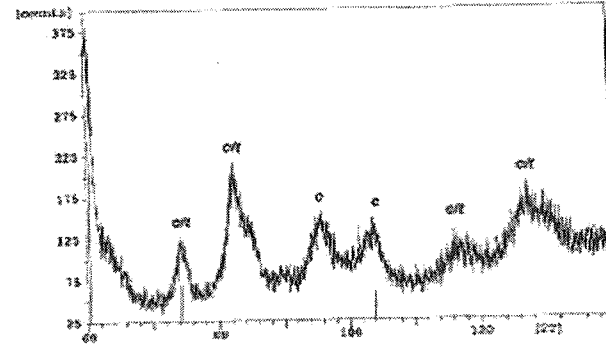
$$Rate = k[\alpha]^n = 293 [\alpha]^{0.47} \quad (۴)$$

چون در آزمایش‌های فعال‌سازی مکانیکی مرحله اول پس از 36 ساعت آسیاکردن، استحاله فازی α به β کامل شد می‌توان چنین نتیجه گرفت که از زمان 36 ساعت به بعد آسیاکردن روی ذرات پودری زیرکونیای β اثر گذاشت و احتمال تبدیل این ساختار به ساختار کوبیک برای زمان‌های طولانی‌تر بسیار زیاد است. البته نمی‌توان انجام همزمان هر دو استحاله فازی را در زمان‌های کمتر از 36 ساعت رد کرد.

شکل (۹) الگوی پراش اشعه X را برای نمونه‌هایی که برای زمان‌های 48 ، 100 و 150 ساعت و با نسبت وزنی گلوله به پودر $40:1$ و $60:1$ آسیا شده‌اند، نشان می‌دهد. نکته مهم قابل توجه این است که پیکهای اصلی ساختار تتراترونال، که در زوایای $2\theta_1 = 30/30.9^\circ$ ، $2\theta_2 = 50/59.8^\circ$ ، $2\theta_3 = 60/60.2^\circ$ شکل می‌گیرند و به صفحات (۱۱۱)، (۲۲۰) و (۳۱۱) مربوط هستند. بسیار به پیکهای اصلی ساختار کوبیک نزدیک هستند. به طوری که اساساً تمایز این دو ساختار از روی پیکهای اصلی آنها غیر ممکن است. پیکهای اصلی ساختار کوبیک تحت زوایای $2\theta_1 = 30/51.0^\circ$ ، $2\theta_2 = 50/68.9^\circ$ ، $2\theta_3 = 60/62.9^\circ$ شکل



شکل (۱۲) : الگوی پراش اشعه X تحت زوایای بالاتر از 60° برای نمونه‌ای که ۱۰۰ ساعت آسیا شده است.



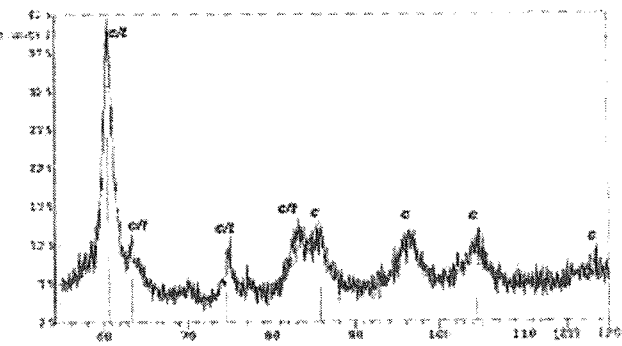
شکل (۱۰) : الگوی پراش اشعه X تحت زوایای بالاتر از 60° برای نمونه‌ای که ۴۸ ساعت آسیا شده است.

۵- نتیجه

- ۱- به دلیل بالا بودن انرژی اکتیواسیون استحاله $\beta \rightarrow \alpha$ زمان بسیار طولانی برای انجام استحاله مذکور حتی در دماهای بالا لازم است. به طوری که پس از ۸ ساعت حرارت در دمای 125° درجه سانتیگراد تقریباً هیچ استحاله‌ای در زیرکونیا صورت نگرفت.
- ۲- به وسیله فرآیند فعال‌سازی مکانیکی استحاله $\beta \rightarrow \alpha$ در دمای اتاق و زمان‌های کوتاه‌تر و بدون مواد افزودنی انجام شد.
- ۳- دلایل تسریع این استحاله ساختاری را می‌توان ضربات مکانیکی و افزایش موضعی فشار و دما و همچنین ریز شدن ذرات (پهن شدن پیک‌ها) ذکر کرد.
- ۴- به وسیله فرآیند فعال‌سازی مکانیکی پس از زمان 26° ساعت استحاله فاز $\beta \rightarrow \alpha$ تقریباً کامل شد و سرعت این استحاله از رابطه زیر بدست آمد:

$$Rate = k[\alpha]^n = 292 [\alpha]^{0.47}$$

- ۵- تبدیل ساختار تتراترونال به کوبیک با فرآیند فعال‌سازی مکانیکی در زمان‌های بیشتر از 36° ساعت انجام پذیر است؛ لیکن این تبدیل در زمان 150° ساعت محرز است. این تشخیص از روی پیک‌های زوایای بالاتر از 60° به دست می‌آید.
- ۶- با توجه به مطلب ذکر شده می‌توان گفت شروع استحاله تتراترونال به کوبیک لزوماً پس از پایان استحاله مونوکلینیک به تتراترونال انجام نمی‌گیرد و احتمال تداخل زمانی این دو استحاله زیاد است.



شکل (۱۱) : الگوی پراش اشعه X تحت زوایای بالاتر از 60° برای نمونه‌ای که 150° ساعت آسیا شده است.

با توجه به مطلب فوق می‌توان حضور فاز β را در نمونه‌ای که 150° ساعت آسیاکاری شده است، اثبات کرد. برای این که بتوان به طور قطعی در مورد حضور فاز کوبیک نظر داد نمونه‌ای که 100° ساعت آسیا شده بود و نسبت وزنی گلوله به پودر آن 60° به 1 بود نیز در زوایای بالای 60° آنالیز شد. فرض بر آن بود که اگر پیک‌های $2\theta = 63^\circ$ ، $2\theta = 85^\circ$ و $2\theta = 117^\circ$ که در نمونه آخر پدیدار شده اند، در این نمونه نیز دیده شوند و شدت آنها کمتر از نمونه 150° ساعت آسیا شده باشد، نظریه حضور فاز کوبیک قطعیت یابد. چون در این صورت پیک‌هایی که مشخصه فاز کوبیک هستند، پس از 100° ساعت آسیاکاری به دست آمده‌اند و پس از 150° ساعت آسیاکاری بر شدت آنها افزوده شده است. شکل (۱۲) الگوی پراش اشعه X این نمونه را نشان می‌دهد. توجه به این شکل تمامی فرضیات بالا را تایید می‌کند؛ زیرا در این شکل نیز پیک‌های $2\theta = 63^\circ$ ، $2\theta = 85^\circ$ و $2\theta = 117^\circ$ به وجود آمده‌اند و شدت آنها نیز از شدت این پیک‌ها در نمونه 150° ساعتی کمتر است.

۶- مراجع

- [۱] حبیبی، ا؛ "آشنایی با زیرکونیا (ترجمه)"، شرکت تحقیقات صنایع سرامیک ایران، ۱۳۷۱.
- [۲] ستوده، ن؛ سعیدی، ع؛ بررسی اثر فرآیند آسیاکاری بر روی استحاله ساختاری در TiO_2 ، مجموعه مقالات هفتمین کنگره انجمن مهندسین متالورژی ایران،

- [۳] صدرنژاد، خ؛ فرآیندهای سینتیکی در مهندسی مواد و متالورژی، انتشارات امیرکبیر تهران، ۱۳۷۲.

- صفحات ۹۵۵-۹۴۷ دانشگاه صنعتی شریف، مهرماه ۱۳۸۲
- [8] Habashi, F., "Handbook of Extractive Metallurgy", Vol. 4, Wiley-VCH Company, 1997.
- [9] Lin, J. and Duh, J., "The Use of X-Ray Line Profile Analysis in the Tetragonal to Monoclinic Phase Transformation of Ball milled, As-sintered and Thermally Aged Zirconia Powders", J. mater. Sci., Vol. 32, PP. 4904-4908, 1997
- [10] ICDD Card No.270997
- [11] ICDD Card No.140534
- [12] ICDD Card No.070343
- [4] L.Lu and M.O.Lai, "Mechanical Alloying", Kluwer Academic Publisher, Boston, 1998
- [5] McCormick, P.G and Froes, F.H, "The Fundamentals of Mechanochemical Processing", JOM, PP. 6465 , Nov. 1998
- [6] Butyagin, P., "Mechanochemical Synthesis: Mechanical and Chemical Factors", J. Mater. Sys Pro., Vol. 8, PP. 205-211, 2000.
- [7] Balaz, P., "Extractive Metallurgy of Activated Minerals", Elsevier, Amsterdam, 2000.